

ประกอบในคินตะกอนบริเวณชายฝั่งทะเลนิคมอุตสาหกรรมบางปู จ.สมุทรปราการ

ปีะรัตน์ อุตส่าห์พาณิช

วิทยานิพนธ์นี้เป็นส่วนหนึ่งของการศึกษาตามหลักสูตรปริญญาวิทยาศาสตร์มหาบัณฑิต  
สาขาวิทยาศาสตร์สิ่งแวดล้อม  
บัณฑิตวิทยาลัย มหาวิทยาลัยบูรพา

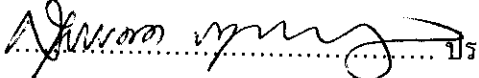
พฤษภาคม 2548

ISBN 974-502-442-2

ลิขสิทธิ์เป็นของมหาวิทยาลัยบูรพา

อาจารย์ผู้ควบคุมวิทยานิพนธ์และคณะกรรมการสอบปากเปล่าวิทยานิพนธ์ ได้พิจารณา  
วิทยานิพนธ์ของ ปีะรัตน์ อุตส่าห์พาณิช ฉบับนี้แล้ว เห็นสมควรรับเป็นส่วนหนึ่งของการศึกษา  
ตามหลักสูตรปริญญาวิทยาศาสตร์มหาบัณฑิต สาขาวิชาวิทยาศาสตร์สิ่งแวดล้อม ของมหาวิทยาลัย  
บูรพาได้

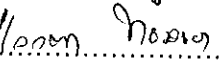
อาจารย์ผู้ควบคุมวิทยานิพนธ์

.......... ประธาน

(ผู้ช่วยศาสตราจารย์ ดร. สุวรรณ ภาณุบรรกุล)

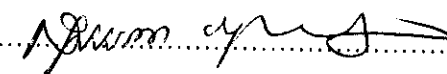
.......... กรรมการ

(รองศาสตราจารย์ ดร. วิภูษิต มัณฑะจิตร)

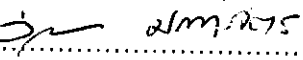
.......... กรรมการ

(ดร. แวนดา ทองระอา)

คณะกรรมการสอบปากเปล่า

.......... ประธาน

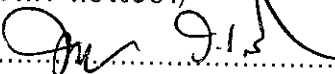
(ผู้ช่วยศาสตราจารย์ ดร. สุวรรณ ภาณุบรรกุล)

.......... กรรมการ

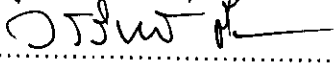
(รองศาสตราจารย์ ดร. วิภูษิต มัณฑะจิตร)

.......... กรรมการ

(ดร. แวนดา ทองระอา)

.......... กรรมการ

(ดร.พรสุข คงประสถิธิ)

.......... กรรมการ

(รองศาสตราจารย์ ดร.วรวิทย์ ชีวภาพ)

บันทึกวิทยาลัยอนุมัติให้รับวิทยานิพนธ์ฉบับนี้เป็นส่วนหนึ่งของการศึกษาตามหลักสูตร  
ปริญญาวิทยาศาสตร์มหาบัณฑิต สาขาวิชาวิทยาศาสตร์สิ่งแวดล้อม ของมหาวิทยาลัยบูรพา

.......... คณบดีบันทึกวิทยาลัย

(รองศาสตราจารย์ ดร. ประทุม น่วมมี)

วันที่ ๓๑...เดือน พฤษภาคม พ.ศ. 2548

## ประกาศคุณปการ

วิทยานิพนธ์นี้ได้รับทุนสนับสนุนบางส่วนจากโครงการบัณฑิตศึกษา ฝึกอบรมและวิจัย ด้านวิทยาศาสตร์ เทคโนโลยีและการบริหารจัดการสิ่งแวดล้อม ภายใต้การกำกับของโครงการ พัฒนาบัณฑิตศึกษาและวิจัยด้านวิทยาศาสตร์ และเทคโนโลยี สำนักงานคณะกรรมการอุดมศึกษา กระทรวงศึกษาธิการ

วิทยานิพนธ์ฉบับนี้สำเร็จได้ด้วยดี เนื่องจากได้รับความกรุณาให้คำปรึกษา และช่วยแนะนำแก่ไขข้อบกพร่องต่าง ๆ อย่างดีซึ่งจาก ผู้ช่วยศาสตราจารย์ ดร.สุวรรณ ภานุบรรณ ซึ่งเป็นประธานควบคุมวิทยานิพนธ์ รองศาสตราจารย์ ดร.วิญญา มัณฑะจิตร และ ดร.แวงตา ทองระดา กรรมการควบคุมวิทยานิพนธ์ ทำให้ผู้วิจัยได้รับแนวทางในการศึกษาหาความรู้ และประสบการณ์อย่างกว้างขวางในการทำวิทยานิพนธ์ครั้งนี้ จึงขอกราบขอบพระคุณอย่างสูง มา ณ โอกาสนี้

ขอขอบพระคุณ ดร.พรสุข งประสิทธิ์ และ รองศาสตราจารย์ ดร.วรวิทย์ ชีวaph คณะกรรมการสอบปากเปล่า ที่กรุณาให้ข้อเสนอแนะ ในการปรับปรุงแก้ไขจนทำให้วิทยานิพนธ์ ฉบับนี้ถูกต้องและสมบูรณ์ยิ่งขึ้น

ขอขอบคุณเจ้าหน้าที่ โครงการบัณฑิตศึกษาและเจ้าหน้าที่ภาควิชาวาริชศาสตร์ คณะวิทยาศาสตร์ทุกท่าน ที่ให้ความอนุเคราะห์เกี่ยวกับการเบิกใช้อุปกรณ์และเครื่องมือต่าง ๆ ในการวิเคราะห์ด้วยอย่าง

ขอขอบคุณ คุณไพบูลย์ มงคลไพบูลย์ คุณรัตนพร วิภาตะภัคต์ เรือเอกปิยะชาติ วงศ์จำรัส เพื่อน ๆ และน้อง ๆ ทุกคน ที่ช่วยเหลือในการเก็บตัวอย่างภาคสนาม และงานในห้องปฏิบัติการ ท้ายสุดขอขอบพระคุณครอบครัว เพื่อนร่วมงาน และผู้ที่เป็นกำลังใจด้วยดีตลอดมา

ปิยะรัตน์ อุตสาหพานิช

44910772: สาขาวิชา: วิทยาศาสตร์สิ่งแวดล้อม; วท.บ. (วิทยาศาสตร์มหาบัณฑิต)

คำสำคัญ: ปรอท/ คินตะกอน

**ปีบัตรนี้ อุตสาหพานิช: ปรอทรวมในคินตะกอนบริเวณชายฝั่งทะเลเดนิคุณอุตสาหกรรม  
บางปู จ. สมุทรปราการ (TOTAL MERCURY IN COASTAL SEDIMENTS OF BANGPOO  
INDUSTRIAL ESTATE SAMUT PRAKAN PROVINCE) อาจารย์ผู้ควบคุมวิทยานิพนธ์:  
สุวรรณ ภานุตระกูล, D.Sc., วิภาณิช มัณฑะจิตร, Ph.D., वावता ทองระบอา, D.Tech.Sc. 174 หน้า.  
ปี พ.ศ. 2548 ISBN 974-502-442-2**

เก็บตัวอย่างดินตะกอนจาก 5 สถานี (3 ระยะห่างจากฝั่ง, 2 3 และ 4 กม.) บริเวณชายฝั่ง  
ทะเลเดนิคุณอุตสาหกรรมบางปู จ. สมุทรปราการ ในเดือนสิงหาคม พ.ศ. 2546 เพื่อศึกษาการ  
แพร่กระจายและการสะสมของปรอทตามระดับความลึก โดยทำการตรวจวัดสารปรอทในตัวอย่าง  
ดินตะกอน พร้อมกับคุณลักษณะของดินตะกอน เช่น %Ignition loss ค่าสักย์ไฟฟ้าของดินตะกอน  
ปริมาณเหล็กและแมงกานีสออกไซด์ ปริมาณปรอทที่ตรวจพบในดินตะกอนมีค่าอยู่ในช่วง 19.8 -  
149.4  $\text{ng g}^{-1}$  น้ำหนักแห้ง โดยมีค่าเฉลี่ยในทุกสถานีเท่ากับ  $67.7 \pm 6.39 \text{ ng g}^{-1}$  น้ำหนักแห้ง พบว่า  
ในสถานี 1 (ปากแม่น้ำเจ้าพระยา) เป็นสถานีเดียวที่แสดงแนวโน้มการลดลงของปรอทตามระดับ  
ความลึกที่ชัดเจน ในขณะที่สถานีอื่น ไม่พบแนวโน้มการเพิ่มขึ้นหรือลดลงที่ชัดเจน ปริมาณสาร  
ปรอทที่พบมีค่าสูงในสถานีที่ 3 – 5 ซึ่งเป็นสถานีที่อยู่ใกล้กับบริเวณคลองค่าน

การศึกษาการดูดซับและการปลดปล่อยสารปรอท โดยดินตะกอน ดำเนินการทดลอง  
โดยใช้ดินตะกอนที่เก็บจากสถานีที่ 2 ที่ระยะห่างจากฝั่ง 2 (2A) และ 4 (2C) กิโลเมตร โดยใช้  
เทคนิค Batch Equilibrium ที่ระดับความเค็ม 5, 15, 25 และ 35 ppt และความเข้มข้นของปรอท  
เริ่มต้น  $0.01 - 100 \text{ mg L}^{-1}$  เมื่อความเข้มข้นปรอทเริ่มต้นต่ำกว่า  $1 \text{ mg L}^{-1}$  ปรอทจะถูกดูดซับอยู่ใน  
ดินตะกอนมากกว่า 99 % อย่างไรก็ตาม เมื่อความเข้มข้นปรอทสูงกว่า  $1 \text{ mg L}^{-1}$  เปรอร์เซ็นต์การ  
ดูดซับของสารปรอทจะลดลง ผลการทดลองชี้ให้เห็นว่าความเข้มข้นของปรอทที่เพิ่มลงไปสูงเกิน  
ความจุการดูดซับของดินตะกอน เมื่อความเค็มเพิ่มขึ้นการดูดซับสารปรอทมีแนวโน้มลดลง  
เล็กน้อย แต่อย่างไรก็ตาม ไม่พบความสัมพันธ์อย่างมีนัยสำคัญทางสถิติ ดินตะกอนที่สถานี 2C  
มีความสามารถดูดซับปรอทได้ดีกว่าสถานี 2A ในขณะที่ดินตะกอนที่สถานี 2A มีความสามารถ  
ในการปลดปล่อยสารปรอทได้ดีกว่าสถานี 2C ความเค็มมีผลต่อการปลดปล่อยสารปรอทออกจาก  
ดินตะกอนอย่างมีนัยสำคัญทางสถิติ จากการศึกษานี้แสดงว่าคุณลักษณะของดินตะกอน เช่น  
%Ignition Loss (ปริมาณสารอินทรีย์) ค่าสักย์ไฟฟ้าในดินตะกอน เหล็กออกไซด์และแมงกานีส  
ออกไซด์ และปริมาณอะลูมิเนียม มีบทบาทสำคัญต่อการดูดซับและการปลดปล่อยสารปรอท  
ของดินตะกอน

44910772: MAJOR: ENVIRONMENTAL SCIENCE; M.Sc. (ENVIRONMENTAL SCIENCE)

KEYWORDS: MERCURY/SEDIMENT

PIYARAT UTSAPHANIT: TOTAL MERCURY IN COASTAL SEDIMENTS OF  
BANGPOO INDUSTRIAL ESTATE SAMUT PRAKAN PROVINE. THESIS ADVISOR:  
SUWANNA PANUTRAKUL, D.Sc., VIPOOSIT MANTRACHITRA, Ph.D., WEAWTA  
THONGRA-AR, D.Tech.Sc. 174 P. 2008 ISBN 974-502-442-2

Sediment samples from 5 stations (with 3 different distances; 2, 3 and 4 km from shore) along the coast of Bangpoo Industrial Estate, Samut-Prakran Province were collected in August 2003 for vertical and horizontal distributions of mercury study. Total mercury concentration in sediment samples was determined together with other sediment characteristics such as % water content, % ignition loss, redox potential, Fe and Mn Oxides and Al content. Total mercury content in all sediment samples varied between 19.8 and 149.4 ng g<sup>-1</sup> dry wt, with a mean of  $67.7 \pm 6.39$  ng g<sup>-1</sup> dry wt. A clear decreasing trend of mercury content in sediment was found only in station 1 (Chaopraya river mouth). The highest mercury concentration was found in sediment from stations 3 to 5. These stations were located close to Klong-Dan.

Mercury adsorption and desorption experiments were carried out using sediments collected from 2 stations at 2 (2A) and 4 (2C) km from shore. The experiments were carried out using a batch equilibration technique with 4 different salinity levels; 5, 15, 25 and 35 ppt. The initial mercury concentration varied from 0.01-100 mg L<sup>-1</sup>. When the initial mercury concentration was under 1 mg L<sup>-1</sup>, more than 99 % of mercury was absorbed onto the sediment. However, when the mercury concentration was higher than 1 mg L<sup>-1</sup> the percentage adsorption of mercury decreased. This suggested that mercury absorption capacity of the sediment was exceeding. The low adsorption of mercury resulted in a slight decreasing trend with increasing salinity however, no significantly different had been found. The sediment at station 2C could absorb mercury better than those at 2A whereas the sediments at station 2A desorbed mercury faster than those at station 2C. Salinity showed a strong effect on mercury desorption. The results from this study showed that the sediment characteristics % ignition loss (organic content), redox potential, Fe and Mn Oxides and Al content, played important roles of mercury adsorption and accumulation in sediments.

## สารบัญ

	หน้า
บทคัดย่อภาษาไทย.....	๔
บทคัดย่อภาษาอังกฤษ.....	๕
สารบัญ.....	๖
สารบัญตาราง.....	๗
สารบัญภาพ.....	๘
<b>บทที่</b>	
<b>1 บทนำ.....</b>	<b>๑</b>
ความเป็นมาและความสำคัญของปัญหา.....	๑
พื้นที่ศึกษา.....	๓
วัตถุประสงค์ของการวิจัย.....	๕
สมมติฐานของการวิจัย.....	๕
ประโยชน์ที่คาดว่าจะได้รับจากการวิจัย.....	๕
ขอบเขตของการวิจัย.....	๖
สถานที่และระยะเวลาทำการศึกษา.....	๖
<b>2 เอกสารและงานวิจัยที่เกี่ยวข้อง.....</b>	<b>๗</b>
คุณสมบัติของสารproto.....	๗
แหล่งที่มาของสารprotoในสิ่งแวดล้อม.....	๙
แหล่งธรรมชาติ.....	๙
สารprotoที่ปะปีองในธรรมชาตินื่องจากกิจกรรมของมนุษย์.....	๑๐
ประเภทของสารproto.....	๑๓
การสะสมprotoในสิ่งมีชีวิต.....	๑๔
คินตะกอน.....	๑๖
การสะสมของprotoในคินตะกอน.....	๑๖
ลักษณะคินตะกอนกับการแพร่กระจายของproto.....	๑๘
กระบวนการดูดซับและการปลดปล่อย.....	๑๙

## สารบัญ (ต่อ)

บทที่		หน้า
	กระบวนการคัดซับ.....	20
	พฤติกรรมการคัดซับของสาร.....	20
	กระบวนการปลดปล่อย.....	21
	<b>ปัจจัยที่ส่งผลต่อการคัดซับและการปลดปล่อยของคินตะกอน.....</b>	<b>21</b>
	ค่าความเป็นกรด – ด่าง.....	21
	ความเค็ม.....	22
	สารอินทรีย์.....	23
	Clay Minerals.....	23
	การเกิดเมทิลแอลเซนของproto.....	24
	<b>ปัจจัยที่เกี่ยวข้องกับการเกิดเมทิลแอลเซน.....</b>	<b>26</b>
	แบบที่เรียกว่าการเกิดเมทิลแอลเซน.....	26
	ผลของค่าความเป็นกรด – ด่าง ในการเกิดเมทิลแอลเซน.....	27
	สภาวะการมีออกซิเจนและขาดออกซิเจนกับการเกิดเมทิลแอลเซน.....	27
	การออกซิเดชันของ Metallic mercury ( $Hg^0$ ) เป็นเมกกะวิริคไอออน ( $Hg^{++}$ )	28
	เมทิลชันของเมอร์คิวริคไซด์ไฟฟ์.....	28
	ปัจจัยอื่นๆ ที่เกี่ยวข้อง.....	28
	ผลความเป็นพิษของproto.....	28
	อาการที่พบในมนุษย์.....	31
	ปริมาณprotoในสิ่งแวดล้อม.....	33
3	<b>วิธีการดำเนินการวิจัย.....</b>	<b>37</b>
	อุปกรณ์และสารเคมี.....	37
	อุปกรณ์สำหรับเก็บตัวอย่าง.....	37
	อุปกรณ์และเครื่องมือสำหรับเตรียมตัวอย่างเพื่อการวิเคราะห์.....	37
	เครื่องมือสำหรับวิเคราะห์ตัวอย่าง.....	37
	สารเคมีสำหรับย้อมคินตะกอนและวิเคราะห์ตัวอย่าง.....	38

## สารบัญ (ต่อ)

บทที่	หน้า
วิธีดำเนินการ.....	38
สถานีเก็บตัวอย่าง.....	38
การศึกษาการสะสูของprotothตามระดับความลึก.....	40
การศึกษาการแพร่กระจายของprotothตามแนวระนาบ.....	41
การเตรียมตัวอย่างเพื่อการวิเคราะห์สารprototh.....	42
การศึกษาระบวนการคุณซับและการปลดปล่อยprotothโดยคินตะกอน.....	42
การวิเคราะห์สารprototh.....	48
การขยับตัวอย่างคินตะกอน.....	48
การขยับตัวอย่างน้ำ.....	48
การวิเคราะห์หาสารprotothด้วยเครื่อง Cold Vapor Atomic Fluorescence Spectrometry.....	49
การตรวจวัด % Recovery เพื่อหาประสิทธิภาพของเครื่องมือ.....	51
การวิเคราะห์คุณสมบัติของคินตะกอน.....	53
การวิเคราะห์ข้อมูลทางสถิติ.....	55
4 ผลการวิเคราะห์ข้อมูล.....	57
ผลการทดลอง.....	57
protothในคินตะกอน.....	57
คุณภาพน้ำโดยทั่วไป.....	66
ลักษณะของคินตะกอน.....	69
ผลการวิเคราะห์ความสัมพันธ์.....	89
การคุณซับและการปลดปล่อยสารprotothของคินตะกอน.....	98
5 สรุปและอภิปรายผล.....	115
คุณภาพน้ำโดยทั่วไป.....	115
การศึกษาปริมาณสารprotothในคินตะกอน.....	117

## สารบัญ (ต่อ)

บทที่	หน้า
การแพร่กระจายของprotothamnaceae.....	117
การแพร่กระจายของprotothamnaceae.....	117
การแพร่กระจายของprotothamnaceae.....	121
ระดับการปนเปื้อน.....	122
ความสัมพันธ์ระหว่างปริมาณสารprotothamnaceaeของคินตะกอน.....	124
การคุณชั้บและการปลดปล่อยสารprotothamnaceaeของคินตะกอน.....	127
ฤดูสมควรของการคุณชั้บ.....	127
การศึกษาเพื่อหาความเข้มข้นที่เหมาะสมเพื่อใช้ในการศึกษา.....	127
การคุณชั้บสารprotothamnaceaeของคินตะกอน.....	128
การปลดปล่อยสารprotothamnaceaeของคินตะกอน.....	130
สรุป.....	132
บรรณานุกรม.....	133
ภาคผนวก.....	141
ภาคผนวก ก.....	142
ภาคผนวก ข.....	145
ภาคผนวก ค.....	148
ภาคผนวก ง.....	168
ประวัติย่อของผู้วิจัย.....	174

## สารบัญตาราง

ตารางที่	หน้า
1 คุณสมบัติทางกายภาพและทางเคมีของprototh.....	7
2 ปริมาณที่พบในธรรมชาติของprototh ไอโซโทปต่าง ๆ .....	8
3 ค่าประมาณของprotothที่มีอยู่ในธรรมชาติ .....	10
4 รูปแบบทางเคมีและความเป็นพิษของสารprototh.....	29
5 ค่าครึ่งชีวิตทางชีววิทยาของสารprototh .....	30
6 ปริมาณรวมของprotothในน้ำทะเลและตะกอนดินในบริเวณอ่าวไทย.....	34
7 จุดพิกัดพื้นที่ของสถานีสำรวจและเก็บตัวอย่างบริเวณชายฝั่งทะเลนิคมอุตสาหกรรม บางปู จ.สมุทรปราการ.....	39
8 แสดง % Recovery ของprototh ใน Reference material MESS-2 ที่วิเคราะห์ด้วย เทคนิค Acid digestion และทำการตรวจด้วยเครื่อง Atomic Fluorescence Spectrometry (CVAFS) .....	52
9 เปอร์เซ็นต์ recovery ของสารprotothในน้ำ โดยวิธีการเติมสารละลายน้ำ prototh ฐาน ลงในตัวอย่างน้ำทะเล (n=4).....	53
10 วิธีการวิเคราะห์คุณสมบัติของดินตะกอน.....	53
11 ผลการวิเคราะห์ความแปรปรวนแสดงความแตกต่างของปริมาณสารprotothในดิน ตะกอนตามระดับความลึกและสถานี.....	60
12 ผลการเปรียบเทียบค่าเฉลี่ยปริมาณสารprotothในดินตะกอน ในแต่ละสถานี โดย ใช้วิธี Duncan's New Multiple Ranges Test (DMRT) ที่ระดับความเชื่อมั่น 95 เปอร์เซ็นต์.....	61
13 ผลการเปรียบเทียบค่าเฉลี่ยปริมาณสารprotothในดินตะกอน ในแต่ละระดับความลึก โดยใช้วิธี Duncan's New Multiple Ranges Test (DMRT) ที่ระดับความเชื่อมั่น 95 เปอร์เซ็นต์.....	62
14 ผลการวิเคราะห์ความแปรปรวนแสดงความแตกต่างของปริมาณสารprotothในดิน ตะกอนจาก 5 สถานี 3 ระยะห่างจากฝั่ง.....	64
15 ผลการเปรียบเทียบค่าเฉลี่ยปริมาณสารprotothในดินตะกอนบริเวณผิวน้ำ ในแต่ละสถานี โดยใช้วิธี Duncan's New Multiple Ranges Test (DMRT) ที่ระดับ ความเชื่อมั่น 95 เปอร์เซ็นต์.....	65

## ตารางที่

หน้า

16 ผลการเปรียบเทียบค่าเฉลี่ยปริมาณสารprotoที่ในดินตะกอนบริเวณผิวน้ำ ในแต่ละ สถานี โดยใช้วิธี Duncan's New Multiple Ranges Test (DMRT) ที่ระดับความ เชื่อมั่น 95 เปอร์เซ็นต์.....	66
17 ความถึกและคุณภาพน้ำโดยทั่วไปขณะทำการเก็บตัวอย่าง (สิงหาคม 2546) ในบริเวณชายฝั่งทะเลนิคมอุตสาหกรรมบางปู จ.สมุทรปราการ.....	67
18 ค่าสัมประสิทธิ์สหสัมพันธ์ระหว่างปริมาณสารprotoกับค่าสักยีไฟฟ้า % Ignition loss เหล็กออกไซด์ และแมงกานีสออกไซด์ ในดินตะกอนตามระดับ ความถึก ( $n = 36$ ).....	90
19 ค่าสัมประสิทธิ์สหสัมพันธ์ระหว่างปริมาณสารprotoกับ แมงกานีสออกไซด์ เหล็กออกไซด์ แมงกานีส เหล็ก อะลูมิเนียม และ % Ignition loss ในผิวน้ำของ ดินตะกอน ( $n = 90$ ).....	94
20 คุณสมบัติของดินตะกอนในบริเวณที่ทำการศึกษา.....	100
21 เปอร์เซ็นต์การดูดซับสารprotoโดยดินตะกอน และค่า Freundlich Adsorption Parameters ที่ความเค็มต่าง ๆ .....	101
22 แสดงเปอร์เซ็นต์การดูดซับสารprotoที่ความเข้มข้นต่าง ๆ .....	103
23 ผลการวิเคราะห์ความแปรปรวนแสดงความแตกต่างของปริมาณการดูดซับสาร protoของดินตะกอน.....	106
24 ผลการเปรียบเปอร์เซ็นต์การดูดซับprotoที่ความเข้มข้นต่าง ๆ โดยใช้วิธี Duncan's New Multiple Ranges Test (DMRT) ที่ระดับความเชื่อมั่น 95 เปอร์เซ็นต์ .....	107
25 ค่าสัมประสิทธิ์สหสัมพันธ์ระหว่าง % การดูดซับของสารproto กับค่าความเค็ม.....	107
26 ปริมาณprotoที่ถูกปล่อยออกจากดินตะกอนหลังการดูดซับที่ความเค็มต่าง ๆ .....	109
27 ผลการวิเคราะห์ความแปรปรวนแสดงความแตกต่างของปริมาณการปลดปล่อยสาร protoของดินตะกอน.....	113
28 ผลการเปรียบเปอร์เซ็นต์การปลดปล่อยสารprotoที่ความเค็มต่าง ๆ โดยใช้วิธี Duncan's New Multiple Ranges Test (DMRT) ที่ระดับความเชื่อมั่น 95 เปอร์เซ็นต์.....	114
29 ค่าสัมประสิทธิ์สหสัมพันธ์ระหว่าง % การปลดปล่อยของสารprotoของดิน ตะกอนกับค่าความเค็ม.....	114
30 เปรียบเทียบคุณภาพน้ำในบริเวณชายฝั่งทะเลนิคมอุตสาหกรรมบางปู (สิงหาคม 2546) กับมาตรฐานคุณภาพน้ำชายฝั่ง.....	116

ตารางที่	หน้า
31 เกณฑ์มาตรฐานคุณภาพดินตะกอนของประเทศไทยฯ .....	123
32 วิธีการเตรียม Series Stock Std.Hg .....	123
33 การเตรียม Series Standard mercury จาก Stock Standard mercury ระดับต่างๆ.....	123
34 ค่าพิสัยและค่าเฉลี่ยของสารปdroth ในดินตะกอน บริเวณชายฝั่งทะเลนิคม อุตสาหกรรมบางปู จ.สมุทรปราการ (ng/g dry weight).....	149
35 ค่าพิสัยและค่าเฉลี่ยของปdroth ในดินตะกอน ตามแนวระนาบ บริเวณชายฝั่งทะเล นิคมอุตสาหกรรมบางปู จ.สมุทรปราการ (ng/g dry weight).....	151
36 ค่าเฉลี่ยของ % Ignition Loss เหล็กออกไซด์ และแมงกานีสออกไซด์ ในดิน ตะกอนตามระดับความลึก บริเวณชายฝั่งทะเลนิคมอุตสาหกรรมบางปู จ.สมุทรปราการ .....	152
37 ค่าเฉลี่ยของ % Ignition Loss เหล็กออกไซด์ แมงกานีสออกไซด์ เหล็ก แมงกานีส และอัลมิเนียม ในดินตะกอน ตามแนวระนาบ บริเวณชายฝั่งทะเลนิคมอุตสาหกรรม บางปู จ.สมุทรปราการ .....	154
38 ค่าศักย์ไฟฟ้าของดินตะกอนในบริเวณชายฝั่งทะเลนิคมอุตสาหกรรมบางปู จ.สมุทรปราการ .....	155
39 แสดงคุณภาพน้ำบางประการของแต่ละสถานีขั้นตอนทำการเก็บตัวอย่าง.....	156
40 ผลการวิเคราะห์ความแตกต่างของ %Ignition Loss ตามระดับความลึกระหว่าง สถานีด้วยวิธี ANOVA.....	156
41 ผลการเปรียบเทียบ %Ignition Loss ตามระดับความลึก ระหว่างสถานี ด้วยวิธี Duncan's New Multiple Ranges Test (DMRT).....	157
42 ผลการเปรียบเทียบ %Ignition Loss ระหว่างสถานีและระยะห่างจากฝั่ง ด้วยวิธี ANOVA.....	157
43 ผลการเปรียบเทียบ %Ignition Loss ตามแนวระนาบ ระหว่างสถานี ด้วยวิธี Duncan's New Multiple Ranges Test (DMRT).....	158
44 ผลการเปรียบเทียบ %Ignition Loss ในแนวระนาบ ตามระยะห่างจากฝั่ง ด้วยวิธี Duncan's New Multiple Ranges Test (DMRT).....	158
45 ผลการเปรียบเทียบปริมาณเหล็กในดินตะกอนระหว่างสถานีและระยะห่างจากฝั่ง ด้วยวิธี ANOVA.....	159

ตารางที่	หน้า
46 ผลการเปรียบเทียบปริมาณเหล็กในดินตะกอนตามแนวระนาบ ระหว่างสถานี ด้วยวิธี Duncan's New Multiple Ranges Test (DMRT).....	159
47 ผลการเปรียบเทียบปริมาณเหล็กในดินตะกอนตามแนวระนาบ ตามระยะห่างจากฝั่ง ด้วยวิธี Duncan's New Multiple Ranges Test (DMRT).....	160
48 ผลการวิเคราะห์ความแตกต่างของปริมาณเหล็กออกไซด์ในดินตะกอนตามระดับความลึกระหว่างสถานี ด้วยวิธี ANOVA.....	160
49 ผลการเปรียบเทียบปริมาณเหล็กออกไซด์ในดินตะกอนตามระดับความลึกระหว่างสถานี ด้วยวิธี Duncan's New Multiple Ranges Test (DMRT).....	161
50 ผลการเปรียบเทียบปริมาณเหล็กออกไซด์ในดินตะกอนระหว่างสถานีและระยะห่างจากฝั่ง ด้วยวิธี ANOVA.....	161
51 ผลการเปรียบเทียบปริมาณเหล็กในดินตะกอนตามแนวระนาบ ระหว่างสถานี ด้วยวิธี Duncan's New Multiple Ranges Test (DMRT).....	162
52 ผลการเปรียบเทียบปริมาณเหล็กออกไซด์ในดินตะกอนตามแนวระนาบ ตามระยะห่าง จากฝั่ง ด้วยวิธี Duncan's New Multiple Ranges Test (DMRT).....	162
53 ผลการเปรียบเทียบปริมาณแมงกานีสในดินตะกอนระหว่างสถานีและระยะห่างจากฝั่ง ด้วยวิธี ANOVA.....	163
54 ผลการเปรียบเทียบปริมาณแมงกานีสในดินตะกอนตามแนวระนาบ ตามสถานีด้วยวิธี Duncan's New Multiple Ranges Test (DMRT).....	163
55 ผลการเปรียบเทียบปริมาณแมงกานีสในดินตะกอนในแนวระนาบ ตามระยะห่าง จากฝั่ง ด้วยวิธี Duncan's New Multiple Ranges Test (DMRT).....	164
56 ผลการวิเคราะห์ความแตกต่างของปริมาณแมงกานีสออกไซด์ในดินตะกอนตามระดับความลึกระหว่างสถานี ด้วยวิธี ANOVA.....	164
57 ผลการเปรียบเทียบปริมาณแมงกานีสออกไซด์ในดินตะกอนตามระดับความลึกระหว่างสถานี ด้วยวิธี Duncan's New Multiple Ranges Test (DMRT).....	165
58 ผลการเปรียบเทียบปริมาณแมงกานีสออกไซด์ในดินตะกอนระหว่างสถานีและระยะห่างจากฝั่ง ด้วยวิธี ANOVA.....	165
59 ผลการเปรียบเทียบปริมาณแมงกานีสออกไซด์ในดินตะกอนตามแนวระนาบ ตามสถานีด้วยวิธี Duncan's New Multiple Ranges Test (DMRT).....	166

ตารางที่	หน้า
60 ผลการเปรียบเทียบปริมาณแมงกานีสออกไซด์ในดินตะกอนในแนวระนาบ ตามระยะห่าง จากผึ้ง ด้วยวิธี Duncan's New Multiple Ranges Test (DMRT).....	166
61 ผลการเปรียบเทียบปริมาณแมงกานีสในดินตะกอนระหว่างสถานีและระยะห่าง จากผึ้งด้วยวิธี ANOVA.....	167
62 ผลการเปรียบเทียบปริมาณอะลูมิเนียมในดินตะกอนตามแนวระนาบ ตามสถานี ด้วยวิธี Duncan's New Multiple Ranges Test (DMRT).....	167
63 ผลการเปรียบเทียบปริมาณแมงกานีสออกไซด์ในดินตะกอนในแนวระนาบ ตามระยะห่าง จากผึ้ง ด้วยวิธี Duncan's New Multiple Ranges Test (DMRT).....	168
64 แสดงเปอร์เซ็นต์การคุณซับที่ช่วงเวลาต่าง ๆ .....	170
65 เปอร์เซ็นต์การคุณซับโดยใช้ป्रอทที่ความเข้มข้นต่าง ๆ .....	170

## สารบัญภาพ

ภาคที่	หน้า
1 วงศ์หมุนเวียนของป্রอทในธรรมชาติ.....	12
2 วัฏจักรทางชีวภาพของป্রอทในสิ่งแวดล้อม.....	14
3 การถ่ายทอดของป্রอทจากสิ่งแวดล้อมผ่านห่วงโซ่ออาหาร .....	15
4 ความสัมพันธ์ในเชิงเส้นตรงระหว่างปริมาณป্রอทกับจำนวนเปอร์เซนต์ของดิน ตะกอนที่มีขนาดน้อยกว่า 16 ไมครอน.....	19
5 การเปลี่ยนแปลงรูปของป্রอท.....	25
6 แสดงการแพร่กระจายของสารป์อทในร่างกายของมนุษย์.....	31
7 สถานีสำรวจและเก็บตัวอย่างดินตะกอนบริเวณชายฝั่งทะเลในคุณภาพตามมาตรฐาน บางปู จ.สมุทรปราการ.....	39
8 แผนการศึกษาการสะสมของป์อทตามระดับความลึก.....	40
9 การตัดคินตะกอนตามระดับความลึก.....	41
10 แผนการศึกษาการแพร่กระจายของป์อท.....	42
11 แผนการศึกษาระบวนการคุณภาพของป์อทที่ระดับความเค็มต่าง ๆ .....	44
12 แผนการศึกษาระบวนการปลดปล่อยสารป์อทในคินตะกอนที่ระดับความเค็ม ต่าง ๆ .....	45
13 ขั้นตอนการศึกษาระบวนการคุณภาพและการปลดปล่อยป์อทของดินตะกอน.....	47
14 ขั้นตอนการวิเคราะห์สารป์อทในคินตะกอน.....	48
15 ขั้นตอนการวิเคราะห์สารป์อทในน้ำ.....	49
16 ขั้นตอนการวิเคราะห์เหล็กและแมงกานีสออกไซด์ในคินตะกอน.....	54
17 แสดงการแพร่กระจายของป์อทบริเวณชายฝั่งทะเลในคุณภาพตาม ตามระดับความลึก.....	59
18 ค่าเฉลี่ย $\pm$ S.E. ของป์อทในคินตะกอนตามระดับความลึก บริเวณชายฝั่งทะเล นิคมอุตสาหกรรมบางปู จ.สมุทรปราการ.....	61
19 ปริมาณความเข้มข้นของป์อทในคินตะกอนตามแนวระนาบ บริเวณชายฝั่งทะเล นิคมอุตสาหกรรมบางปู จ.สมุทรปราการ.....	63

ภาพที่	หน้า
20 การแพร่กระจายของค่าออกซิเจนและลายน้ำ ความเค็ม และค่าความเป็นกรด- ด่าง ในบริเวณชายฝั่งทะเลนิคมอุตสาหกรรมบางปู จ.สมุทรปราการ ขณะทำการเก็บตัวอย่าง.....	68
21 การเปลี่ยนแปลงตามความลึกของศักย์ไฟฟ้าในดินตะกอน บริเวณชายฝั่งทะเลนิคมอุตสาหกรรมบางปู จ.สมุทรปราการ.....	70
22 การเปลี่ยนแปลงตามความลึกของ % Ignition loss ในดินตะกอน บริเวณชายฝั่งทะเลนิคมอุตสาหกรรมบางปู จ.สมุทรปราการ.....	72
23 ค่าเฉลี่ย $\pm$ S.E. ของ % Ignition Loss ในดินตะกอนตามระดับความลึก บริเวณชายฝั่งทะเลนิคมอุตสาหกรรมบางปู จ.สมุทรปราการ.....	73
24 ปริมาณของ % ignition loss ในดินตะกอนตามแนวระนาบบริเวณชายฝั่งทะเลนิคมอุตสาหกรรมบางปู จ.สมุทรปราการ.....	74
25 ปริมาณความเข้มข้นของเหล็กในดินตะกอนตามแนวระนาบบริเวณชายฝั่งทะเลนิคมอุตสาหกรรมบางปู จ.สมุทรปราการ.....	75
26 การเปลี่ยนแปลงตามความลึกของปริมาณเหล็กออกไซด์ในดินตะกอน บริเวณชายฝั่งทะเลนิคมอุตสาหกรรมบางปู จ.สมุทรปราการ.....	78
27 ค่าเฉลี่ย $\pm$ S.E. ของปริมาณเหล็กออกไซด์ในดินตะกอนตามระดับความลึก บริเวณชายฝั่งทะเลนิคมอุตสาหกรรมบางปู จ.สมุทรปราการ.....	79
28 ปริมาณความเข้มข้นของเหล็กออกไซด์ในดินตะกอนตามแนวระนาบบริเวณชายฝั่งทะเล นิคมอุตสาหกรรมบางปู จ.สมุทรปราการ.....	80
29 ปริมาณความเข้มข้นของแมงกานีสในดินตะกอนตามแนวระนาบบริเวณชายฝั่งทะเล นิคมอุตสาหกรรมบางปู จ.สมุทรปราการ.....	82
30 การเปลี่ยนแปลงตามความลึกของปริมาณแมงกานีสออกไซด์ ในดินตะกอน บริเวณชายฝั่งทะเลนิคมอุตสาหกรรมบางปู จ.สมุทรปราการ.....	84
31 ค่าเฉลี่ย $\pm$ S.E. ของปริมาณแมงกานีสออกไซด์ในดินตะกอนตามระดับความลึก บริเวณชายฝั่งทะเลนิคมอุตสาหกรรมบางปู จ.สมุทรปราการ.....	85
32 ปริมาณความเข้มข้นของแมงกานีสออกไซด์ในดินตะกอนตามแนวระนาบบริเวณชายฝั่งทะเล นิคมอุตสาหกรรมบางปู จ.สมุทรปราการ.....	86

ภาคที่		หน้า
33	ปริมาณความเข้มข้นของอะลูมิเนียมในดินตะกอนตามแนวระนาบบริเวณชายฝั่ง ทะเลนิคมอุตสาหกรรมบางปู จ.สมุทรปราการ .....	88
34	แสดงความสัมพันธ์ระหว่างปริมาณสารป्रอทและค่าศักย์ไฟฟ้า ในดินตะกอน บริเวณชายฝั่งทะเลนิคมอุตสาหกรรมบางปู.....	91
35	แสดงความสัมพันธ์ระหว่างปริมาณสารป्रอทและ % Ignition loss ในดินตะกอน บริเวณชายฝั่งทะเลนิคมอุตสาหกรรมบางปู.....	92
36	แสดงความสัมพันธ์ระหว่างค่าศักย์ไฟฟ้าและแมงกานีสออกไซด์ในดินตะกอน บริเวณชายฝั่งทะเลนิคมอุตสาหกรรมบางปู.....	92
37	แสดงความสัมพันธ์ระหว่าง % Ignition Loss และแมงกานีสออกไซด์ในดิน ตะกอนบริเวณชายฝั่งทะเลนิคมอุตสาหกรรมบางปู.....	93
38	แสดงความสัมพันธ์ระหว่างปริมาณเหล็กออกไซด์และแมงกานีสออกไซด์ในดิน ตะกอนบริเวณชายฝั่งทะเลนิคมอุตสาหกรรมบางปู.....	93
39	แสดงความสัมพันธ์ระหว่างปริมาณป्रอทและเหล็กออกไซด์ในผิวน้ำของดิน ตะกอนบริเวณชายฝั่งทะเลนิคมอุตสาหกรรมบางปู.....	96
40	แสดงความสัมพันธ์ระหว่างปริมาณป्रอทและเหล็กในผิวน้ำของดินตะกอน บริเวณชายฝั่งทะเลนิคมอุตสาหกรรมบางปู.....	96
41	แสดงความสัมพันธ์ระหว่างปริมาณป्रอทและแมงกานีสในผิวน้ำของดินตะกอน บริเวณชายฝั่งทะเลนิคมอุตสาหกรรมบางปู.....	97
42	แสดงความสัมพันธ์ระหว่างปริมาณป्रอทและอะลูมิเนียมในผิวน้ำของดินตะกอน บริเวณชายฝั่งทะเลนิคมอุตสาหกรรมบางปู.....	97
43	แสดงความสัมพันธ์ระหว่างปริมาณป्रอทและ % ignition loss ในผิวน้ำของดิน ตะกอนบริเวณชายฝั่งทะเลนิคมอุตสาหกรรมบางปู.....	98
44	จุดสมดุลของการดูดซับสารป्रอทโดยดินตะกอน.....	99
45	เปอร์เซ็นต์การดูดซับโดยใช้ป्रอทที่ความเข้มข้นต่าง ๆ .....	100
46	ไอโซเทอร์มการดูดซับป्रอทของฟรอยค์ลิก ที่ความเข้มข้นต่าง ๆ ที่ความคืบ 5 ppt สถานี 2C.....	102
47	แสดงค่า Kads เปรียบเทียบระหว่าง สถานี 2A กับสถานี 2C.....	102

ภาพที่	หน้า
48 แสดงการคุณซับสารprotoที่ความเข้มข้นต่าง ๆ .....	104
49 แสดงการคุณซับprotoของคินตะกอนที่ระดับความเค็มต่าง ๆ .....	105
50 แสดงเปอร์เซ็นต์การปลดล้อysสารprotoที่ความเค็มต่าง ๆ เปรียบเทียบระหว่างคินตะกอนที่ได้จากกระบวนการคุณซับ ที่ความเข้มข้นของสารproto 1 mg/L และ 100 mg/L.....	110
51 แสดงเปอร์เซ็นต์การปลดล้อysสารprotoโดยคินตะกอนที่ความเค็มต่าง ๆ .....	111
52 แสดงเปอร์เซ็นต์การคุณซับสารprotoโดยคินตะกอนที่ความเค็มต่าง ๆ .....	112
53 ไอโซเทอร์มการคุณซับprotoของฟรอไนติก ที่ความเข้มข้นต่าง ๆ ในคินตะกอน สถานีที่ 2 ระยะห่างจากฝั่ง 200 เมตร (a) ความเค็ม 5 ppt (b) ความเค็ม 15 ppt (c) ความเค็ม 25 ppt (d) ความเค็ม 35 ppt .....	172
54 ไอโซเทอร์มการคุณซับprotoของฟรอไนติก ที่ความเข้มข้นต่าง ๆ ในคินตะกอน สถานีที่ 2 ระยะห่างจากฝั่ง 400 เมตร (a) ความเค็ม 5 ppt (b) ความเค็ม 15 ppt (c) ความเค็ม 25 ppt (d) ความเค็ม 35 ppt .....	173